

### 2.5.5. Ускоренные вакуумные токи во внешней оболочке движущегося «электрона»

Общее векторное поле ускоренных вакуумных токов во внешней оболочке движущегося «электрона», согласно геометризированной вакуумной электродинамике Алсигны [8], определяется выражением вида

$$\mathbf{a}_\Sigma = \frac{1}{2} (\mathbf{a}^{(-a)} + i\mathbf{a}^{(-b)}), \quad (2.5.63)$$

где

$$\mathbf{a}^{(-a)} = \mathbf{E}_o^{(-a)} + [\mathbf{v}^{(-a)} \times \mathbf{B}_o^{(-a)}] \quad (2.5.64)$$

– векторное поле ламинарно-турбулентных ускорений *субконта* во внешней оболочке «электрона»;

$$\mathbf{a}^{(-b)} = \mathbf{E}_o^{(-b)} + [\mathbf{v}^{(-b)} \times \mathbf{B}_o^{(-b)}] \quad (2.5.65)$$

– векторное поле ламинарно-турбулентных ускорений *антисубконта* в той же внешней оболочке «электрона».

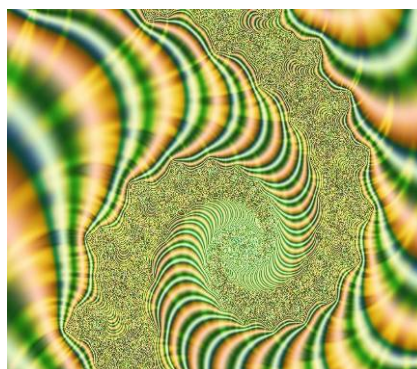
Выражение (2.5.63) с учетом (2.5.64) и (2.5.65) может быть представлено в виде

$$\mathbf{a}_\Sigma = \frac{1}{2} (\mathbf{E}_o^{(-a)} + i\mathbf{E}_o^{(-b)}) + \frac{1}{2} ([\mathbf{v}^{(-a)} \times \mathbf{B}_o^{(-b)}] + i[\mathbf{v}^{(-a)} \times \mathbf{B}_o^{(-b)}]). \quad (2.5.66)$$

Такой вид записи для общего векторного поля вакуумных ускорений связан с тем, что токовые линии ускоренных *субконтных* и *антисубконтных* течений всегда взаимно перпендикулярны, т. е. переплетены в токовые жгуты.



<http://www.crlc.pu.ru/share/hosse/>



[www.i21.radikal.ru](http://www.i21.radikal.ru)

Субконт-антисубконтные жгуты

Для внешней оболочки свободного «электрона», движущегося с постоянной скоростью  $V_z$ ,  $\mathbf{E}_o^{(-a)}$  задается компонентами (2.5.39) – (2.5.41);  $\mathbf{B}_o^{(-a)}$  – компонентами (2.5.42) – (2.5.44);  $\mathbf{E}_o^{(-b)}$  – компонентами (2.5.53) – (2.5.55);  $\mathbf{B}_o^{(-b)}$  – компонентами (2.5.56) – (2.5.58). При этом анализ выражения (2.5.66) приводит к следующим выводам.

Поле вектора вакуумной напряженности  $\mathbf{E}_o$  во внешней оболочке движущегося «электрона» сплющивается (рис. 2.5.7), а векторное поле вакуумной индукции  $\mathbf{B}_o$  представляет собой тороидальный винтовой вихрь, «перемальвающий» вакуум вокруг движущегося ядра «электрона» (рис. 2.5.8). Данные представления Алсигны во многом совпадают с выводами классической электродинамики (см. п. 9.4.1 [6]).

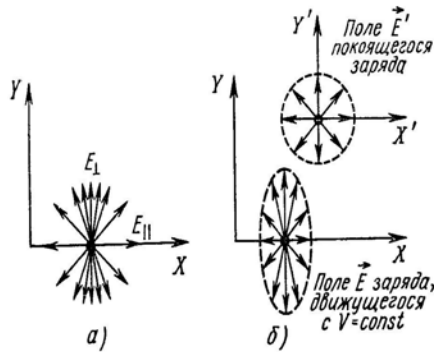


Рис. 2.5.7. Поле вакуумной напряженности  $\mathbf{E}_o$  во внешней оболочке движущегося «электрона»

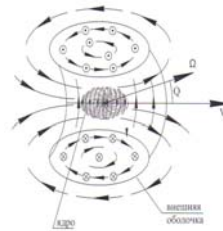


Рис. 2.5.8. Поле вакуумной индукции  $\mathbf{B}_o$  во внешней оболочке движущегося «электрона»

С точки зрения стороннего наблюдателя ядро движущегося «электрона» приобретает форму маслины (зайта) (см. рис. 2.5.9), а ось его вращения хаотично прецессирует в секторе, ограниченном телесным углом  $Q$  (см. рис. 2.5.10). Чем больше скорость движения ядра «электрона», тем более его ядро сплющивается, а телесный угол сектора прецессии оси его вращения уменьшается.

Такое поведение ядра «электрона» обусловлено очень сильными субконт-антисубконтными токами в «горловине» тороидально - винтового вихря, циркулирующего в его внешней оболочке.



Иллюстрации внешней оболочки и ядра движущегося «электрона»

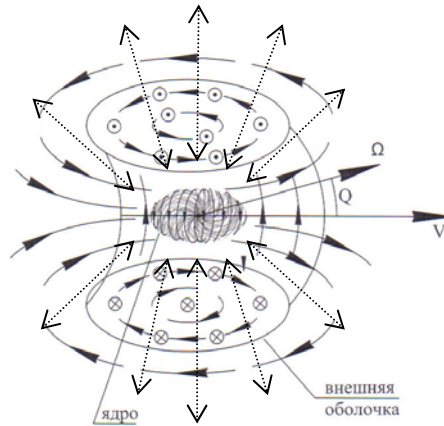


Рис. 2.5.9. Ускоренные ламинарные и турбулентные субконт-антисубконтные токи во внешней оболочке движущегося «электрона»

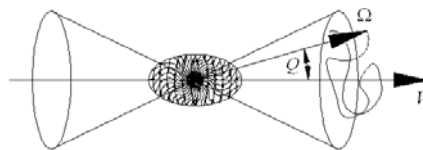


Рис. 2.5.10. Прецессия оси вращения ядра движущегося «электрона» вокруг направления его равномерного и прямолинейного движения



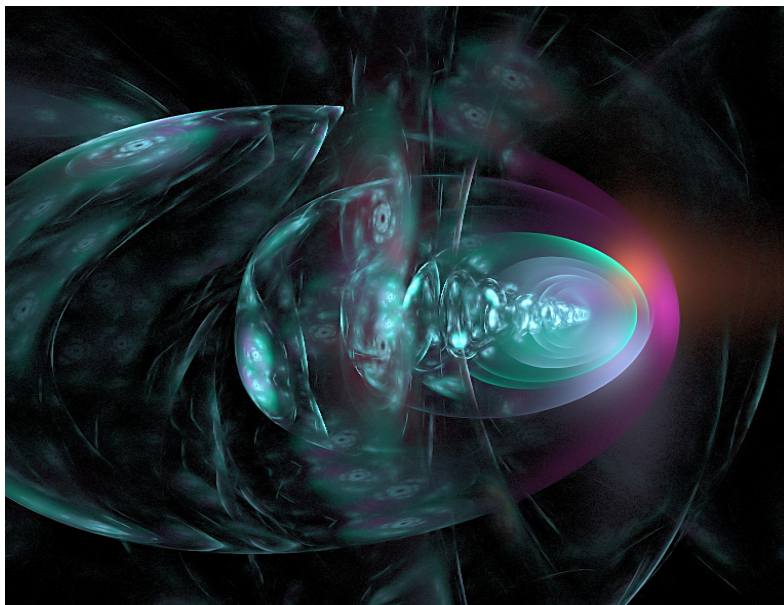
<http://fract.narod.ru/>

Иллюстрация ядра и внутреннего ядрышка движущегося «электрона»  
При скорости движения «электрона» близкой к скорости света ось вращения ядра «электрона» практически перестает прецессировать и совпадает с направлением его движения.

*Данные иллюстрации передают характер сложнейших вакуумных деформаций вокруг ядра, движущегося «электрона».*



<http://hz.uz/>



<http://www.crlc.pu.ru/share/hosse/>

Иллюстрация деформации внешней оболочки движущегося «электрона»

В окружающей нас Живой Природе существует много аналогов движущемуся вакуумному образованию, показанному на рис. 2.5.9. Например, движение воротникового жгутиконосца (водного одноклеточного организма) вызывает тороидальный ток воды (см. рис. 2.5.11).

В данном случае жгутиконосец аналогичен сплюснутому ядру движущегося «электрона», а вызываемое им тороидальное движение воды подобно *субконт-антисубконтным* потокам во внешней оболочке движущегося «электрона».

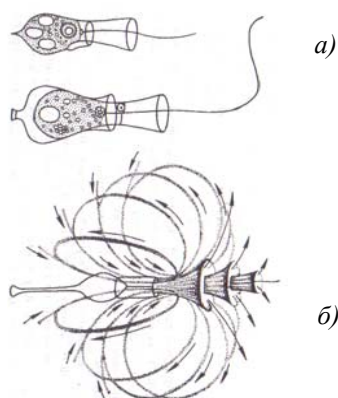


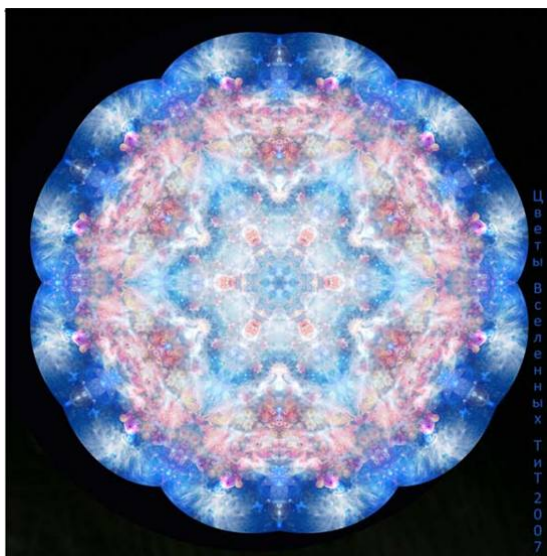
Рис. 2.5.11. [28] а) воротниковые жгутиконосцы (водные одноклеточные организмы); б) тороидальный ток воды, вызванный движением жгутиконосца

Вращение внешней оболочки движущегося «электрона» приводит к уплотнению его ядра и возникновению дополнительной инертности всего этого вакуумного образования. Чем быстрее движется «частица», тем больше скорость вращения ее внешней оболочки и, соответственно, больше инерции в этом вращении. Поэтому движущуюся «частицу» сложнее еще больше разогнать и сложнее поменять направление ее движения (гирскопический эффект).

В силу закона сохранения полного момента инерции, если разогнать ядро «электрона» до определенной скорости, то оно так и будет двигаться в  $\lambda_{-12+16}$ -вакууме с данной скоростью в изначально заданном направлении.

Здесь Алсигна рассмотрела самый примитивный вариант переплетения только двух видов токов с единой сигнатурой (+ - - -): *субконтных* (артериальных) и *антисубконтных* (венозных). Но необходимо помнить, что каждый *субконтный* ток и каждый *антисубконтный* ток может быть представлен в виде переплетения семи ультральных токов с сигнатурами, представленными в левом ранжире выражения (2.1.17). Поэтому на ультральном уровне рассмотрения картина вакуумных процессов во внешней оболочке свободного движущегося «электрона» выглядит значительно более сложной, но вместе с тем потрясающе красивой и гармоничной.

На рис. 2.5.12 сделана попытка проиллюстрировать переплетение семи ультральных токов, при этом каждый ультральный ток помечен одним из семи цветов радуги (красный, оранжевый, желтый, зеленый, голубой, синий, фиолетовый).



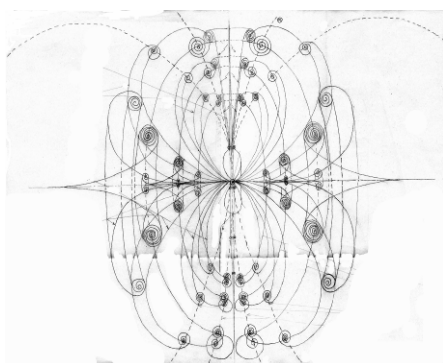
<http://www.mykadr.ru/>

Рис. 2.5.12. Иллюстрация сложного переплетения семи ультеральных вакуумных токов, из которых соткан *субконт* во внешней оболочке «электрона»

При еще более глубинном представлении каждый ультеральный ток – это жгут, сплетенный из семи цветных инферальных токов (см. п. 1.2.13 в [8]), и так может продолжаться до бесконечности. Чем глубже уровень рассмотрения, тем великолепней и изящней картины реальности.

*«И Сказал Б-Г: Вот знак Завета, который Я Даю между МНОЮ и между вами, и между всяким живым существом, которое с вами, для поколений вовеки. Радугу (קשת - кашти) МОЮ Дал Я в облаке, и будет она знаком Завета между МНОЮ и Землей» (Берейшит, Нох, 9:12-13).*

Пусть в основе исследуемого процесса заложен исходный «фрактал» в виде структуры тороидального вихря (рис. 2.5.12). Тогда при более тонком ультеральном, или еще более тонком инферальном уровнях рассмотрения исходный тороидальный вихрь будет множественно репродуцироваться, подобно тому, как это показано на рис. 2.5.13а.



а) рисунок В. А. Лебедева

б) фрактал [www.fotoavtor.net](http://www.fotoavtor.net)

Рис. 2.5.13. Иллюстрации ультрального видения движущегося «электрона»

[www.55x75.ru](http://www.55x75.ru)

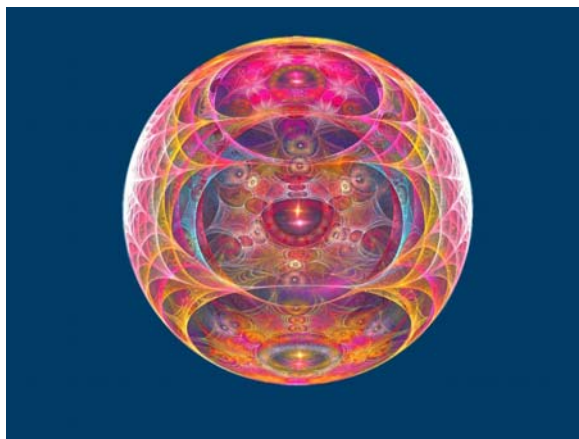
Вакуумные процессы на ультральном уровне рассмотрения

Физика на наших глазах перерождается в некий иной вид знаний, граничащий скорее с Высшей Эстетикой. Главная причина данной трансформации заключается в том, что мы не можем проверить наличие ультралюльных и тем более инферальных вакуумных токов во внешней оболочке «электрона» посредством прямых экспериментов. Эти токи «видит» математика, и с ними соглашаются внутренние убеждения Алсигны, базирующиеся на пяти взаимосвязанных Устоях ТОРЫ [7]:

$H'$	$V$	$H$	$I$	$i$
<i>Сфирот</i>	<i>Парцуфим</i>	<i>Имя</i>	<i>Миры</i>	<i>Стихи</i>
<i>Кетер</i>	<i>Атик Арих</i> <i>Нук Нук</i>	$i$	<i>Адам Кадмон</i>	<i>Йюли</i>
<i>Хохма</i>	<i>Аба Израэль саба</i>	$I$	<i>Ацилут</i>	<i>Огонь</i>
<i>Бина</i>	<i>Има Твуна</i>	$H$	<i>Брия</i>	<i>Вода</i>
<i>Тиферет</i>	<i>Израэль Яков</i>	$V$	<i>Ецира</i>	<i>Воздух</i>
<i>Малхут</i>	<i>Лия Рахиль</i>	$H'$	<i>Асия</i>	<i>Земля</i>

$10$  **Сфирот** – это пять Миров  $\rightarrow$  каждый **Мир** – это  $12$  Парцуфим,  
 $\uparrow$   $\downarrow$   
 $\leftarrow$  каждый **Парцуф** – это  $10$  Сфирот  $\leftarrow$

Напомним, что  $16$  компонентов метрического тензора  $g_{ij}$  имеют структуру Древа Сфирот (см. п. 2.1.1), а содержащаяся в них информация о метрико-динамической структуре локального участка вакуумной протяженности раскрывается как буквы и слова Великой Книги Творения.



<http://www.crlc.pu.ru/share/hosse/>

Переплетение уровней Естества